

(株) 神戸製鋼所 正員 ○ 豊島 史郎
中西 宏
波田 凱夫

1. まえがき 近年、穀物や石炭などの粉粒体を貯蔵するための大型貯槽が建設される機会がふえており、貯槽自体の応力解析手法について種々の報告がなされている。しかし、そのような解析の前提となるべき粉粒体圧（粉粒体の流れのパターンに依存する）による外力条件はそれほど正確にはされていないようである。本研究は、サイロなどの容器から粉粒体を排出する時の、粉粒体の特性（すべり線の形成状態や応力分布など）を大局的に把握するための一簡易解析手法を示すものである。そこでは、一つのすべり線を想定してすべり線上の応力場の離散化を行ない、最小二乗法を用いて有限要素法的にすべり線を求めている。

2. 塑性流動時の応力場とすべり線 定常塑性流動時における粉粒体の降伏条件を、Jenikeにより提案された有効内部摩擦角 ϕ_e を用いて

$$|\tau| = \sigma^m \cdot \tan \phi_e \quad (1)$$

図1 (a) の
(R, Z) 座標
系の P 点に
おける応力
($\sigma^R_i, \sigma^Z_i, \tau^{RZ}_i$)
は

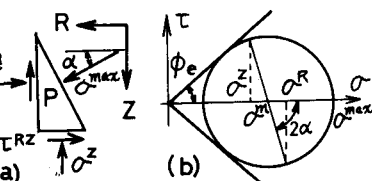


図1 座標系と降伏関数

$$\begin{aligned} \sigma^R_i &= \sigma^m \cdot \{1 + \sin \phi_e \cdot \cos(2\alpha)\} \equiv \sigma^m \cdot S^R(\alpha) \\ \sigma^Z_i &= \sigma^m \cdot \{1 - \sin \phi_e \cdot \cos(2\alpha)\} \equiv \sigma^m \cdot S^Z(\alpha) \\ \tau^{RZ}_i &= \sigma^m \cdot \sin \phi_e \cdot \sin(2\alpha) \equiv \sigma^m \cdot S^T(\alpha) \end{aligned}$$

で表わされ、これをつり合い式

$$\left. \begin{aligned} \partial \sigma^R_i / \partial R + \partial \tau^{RZ}_i / \partial Z &= 0 \\ \partial \tau^{RZ}_i / \partial R + \partial \sigma^Z_i / \partial Z - \tau^* &= 0 \end{aligned} \right\} \quad (3)$$

に代入すると、塑性論よりすべり線の方程式が

$$dZ / dR = \tan(\alpha \mp \eta) \quad (4)$$

と与えられる。また、このすべり線に沿う応力は

$$d\sigma^m = 2\sigma^m \tan \phi_e \cdot d\alpha = \tau^* (dZ \mp \tan \phi_e \cdot dR) \quad (5)$$

で表わされる。ここに、 $\eta = \pi/4 - \phi_e/2$, σ^m は平均応力, α は R 軸から最大主応力 σ^{max} への角度, τ^* は単位

重量であり、式(4),(5)で示されるすべり線のうち上側の符号によるものをオ₁ 1-slip line, 下側の符号によるものをオ₂ 2-slip line と名づける。

3. 応力の離散化 図2に示すように一つのすべり線を想定し、それを $(n+1)$ 個の点により n 個の区间に分割する。オ_i 点の座標と応力特性値をそれぞれ (R_i, Z_i) , (σ_i^m, α_i) とし、オ_i 区間にわたる (R_i, Z_i) から (R_{i+1}, Z_{i+1}) の区间に対して式(5)のすべり線の応力特性方程式を適用する。ここで、オ_i 区間の平均応力 $\bar{\sigma}_{i+1}^m$ は一定と仮定して σ_i^m と σ_{i+1}^m の平均値を用い、式(5)を積分すると

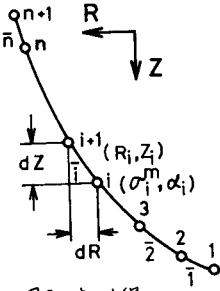


図2 すべり線

$$R: R_{i+1} - R_i = 2\sigma_i^m \frac{\sin \phi_e}{\pi} \{ f^j(d_{i+1}) - f^j(d_i) \} \quad (6)$$

$$Z: Z_{i+1} - Z_i = 2\sigma_i^m \frac{\sin \phi_e}{\pi} \{ g^j(d_{i+1}) - g^j(d_i) \} \quad (7)$$

$$\bar{\sigma}_{i+1}^m = (\sigma_{i+1}^m + \sigma_i^m) / 2 \quad (8)$$

$$\left. \begin{aligned} f^j(d_i) &= d_i \cdot \cos(2\eta) + (-1)^j \sin(2\eta) \cdot \ln |\cos[\alpha_i - (-1)^j \eta]| \\ g^j(d_i) &= (-1)^j \alpha_i \cdot \sin(2\eta) - \cos(2\eta) \cdot \ln |\cos[\alpha_i - (-1)^j \eta]| \end{aligned} \right\} \quad (9)$$

($j=1, 2$ であり j -slip line を示す)

となり、オ_i 区間の両端点における座標と応力の関係が得られる。

4. 最小二乗法によるすべり線の推定

ここでは各区间を直線(差分)近似し、各区间におけるつり合いの二乗誤差和が最小となるようにすべり線を推定する。オ_i 区間ににおける R, Z 方向のつり合い誤差を E_i^R , E_i^Z 、誤差の二乗和を E_i と置くと

$$\left. \begin{aligned} E_i^R &= \Delta \sigma_i^m / \Delta R_i + \Delta \tau_i^{RZ} / \Delta Z_i \\ E_i^Z &= \Delta \tau_i^{RZ} / \Delta R_i + \Delta \sigma_i^Z / \Delta Z_i - \tau^* \end{aligned} \right\} \quad (10)$$

$$E_i = \{ (E_i^R)^2 + (E_i^Z)^2 \} \cdot \Delta R_i \Delta Z_i$$

となる。式(2), (6), (7)を式(10)に代入して整理すると、 E_i は

$E_i = A_i^1 (\sigma_i^m)^2 + A_i^2 (\sigma_i^m \sigma_{i+1}^m) + A_i^3 (\sigma_{i+1}^m)^2$ (11)

と表わされる。よって、すべり線における二乗誤差和を最小とする各区間の方程式は

$$\begin{pmatrix} 2A_i^1 & A_i^2 \\ A_i^2 & 2A_i^3 \end{pmatrix} \cdot \begin{pmatrix} \sigma_i^m \\ \sigma_{i+1}^m \end{pmatrix} \equiv A_i \cdot \sigma_i^m = 0 \quad (12)$$

となる。ここに

$$\begin{aligned} A_i^k &= \sum_{j=1}^4 a_{ik} e_j \quad (k=1, 2, 3) \\ e_1 &= \frac{f_{i+1,i}^j}{g_{i+1,i}^j}, \quad e_2 = \frac{1}{e_1}, \quad e_3 = 2, \quad e_4 = \sin^2 \phi_e f_{i+1,i}^j g_{i+1,i}^j \\ a_{11} &= (S_{i+1}^x)^2 + (S_{i+1}^z)^2, \quad a_{12} = (S_{i+1}^x)^2 + (S_{i+1}^z)^2 \\ a_{13} &= 2 S_{i+1}^x \sin \phi_e \{ f_{i+1,i}^j S_{i+1}^x + g_{i+1,i}^j S_{i+1}^z \}, \quad a_{14} = 1 \\ a_{21} &= -2(S_{i+1}^x S_i^x + S_{i+1}^z S_i^z), \quad a_{22} = -2(S_{i+1}^x S_i^x + S_{i+1}^z S_i^z) \\ a_{23} &= -2(S_{i+1}^x S_i^z + S_{i+1}^z S_i^x) - \sin \phi_e \{ f_{i+1,i}^j (S_{i+1}^x - S_i^x) \\ &\quad + g_{i+1,i}^j (S_{i+1}^x - S_i^z) \}, \quad a_{24} = 2 \\ a_{31} &= (S_i^x)^2 + (S_i^z)^2, \quad a_{32} = (S_i^x)^2 + (S_i^z)^2 \\ a_{33} &= 2 S_i^x + \sin \phi_e \{ f_{i+1,i}^j S_i^x + g_{i+1,i}^j S_i^z \}, \quad a_{34} = 1 \\ f_{i+1,i}^j &\equiv f^j(d_{i+1}) - f^j(d_i), \quad g_{i+1,i}^j \equiv g^j(d_{i+1}) - g^j(d_i) \\ S_i^X &\equiv S^X(d_i) \quad (X=R, Z, T) \end{aligned} \quad (13)$$

である。したがって、式(6)、(7)のよう

$$R: R_{i+1} - R_i = \sum_{i=1}^n (\sigma_i^m + \sigma_{i+1}^m) \frac{\sin \phi_e}{g^j} \{ f^j(d_{i+1}) - f^j(d_i) \} \quad (14)$$

$$Z: Z_{i+1} - Z_i = \sum_{i=1}^n (\sigma_i^m + \sigma_{i+1}^m) \frac{\sin \phi_e}{g^j} \{ g^j(d_{i+1}) - g^j(d_i) \} \quad (15)$$

となる（関係が成立）、 σ_i^m ($i=1, 2, \dots, n+1$) のうち一つは從属となり、式(11)、(12)において考慮する必要がある。

すべり線を決める方程式は、式(12)を重ね合わせることにより

$$\begin{aligned} A \cdot \sigma^m &= X \\ \{\sigma^m\} &= \{\sigma_1^m, \sigma_2^m, \dots, \sigma_n^m, \sigma_{n+1}^m\}^T \\ \{X\} &= \{0, 0, \dots, 0, X_{n+1} - X_1\}^T \end{aligned} \quad (16)$$

($X = R$ または Z)

となり、 σ^m を式(6)、(7)に代入することにより座標 (R_i, Z_i) が決まる。なお A は α_i の函数である。

4. 数値計算例

図3に示すような幅 $2R_w$ 、排出口幅 $2R_o$ の平底容器（平面モデル）から粉粒体を排出した場合に観測される死領域と運動域の境界線を上記手法により推定してみる。死領域が形成されるようならば流動域では粉粒体は運動応力状態、境界

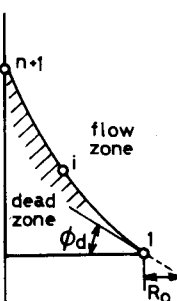


図3 平底容器

線は第1-slip lineと考えられ、それは R_o, R_w を通るので式(14)が適用できる。ところで、粉粒体の有効内部摩擦角 ϕ_e と容器の摩擦角 ϕ_w より α_i と α_{n+1} に対してはある程度推定できだが、 α_i ($i=2, \dots, n$) は未定である。そこで、境界線は単調にならかであるという仮定を設けて、 α_i はすべり線上で単調に増加または減少するとして α_i と α_{n+1} の中间値を採用することにする。ここでは、Gardner³⁾の実験結果に適用してみる。粉粒体を容器壁に付着させ、壁面でのすべりが起らなければ、よりな条件であなため

$$\begin{cases} \alpha_{n+1} = (\phi_e + \pi/2)/2 \\ \alpha_i = (\phi_e + 2\phi_d - \pi/2)/2 \end{cases} \quad (17)$$

と置ける。ここに、 ϕ_d は図3に示す排出角である。また、文献3, 4)で述べられていくように、 ϕ_e と ϕ_d の関係を簡便に

$$\phi_e \approx \phi_d \quad (18)$$

と置く。図4は、Gardner³⁾の実験結果と本法による計算結果であり、

実験結果を比較的よく推定できている。なお、 $\phi_d = 40^\circ$, $R_o/R_w = 0.079$ である。

5. あとがき 排出時にかけた容器内の粉粒体の特性を調べる一簡易解析手法を述べ、数値計算例により、平底ビンの死領域境界線の推定を行ないあり程度妥当な結果を得た。今後、ホッパーを有する容器などに適用するとともに、種々の実験を行ない粉粒体の運動特性を検討する予定である。

参考文献

- Jenike, A.W., J.R. Johanson: Bins Loads, Journal of the Structural Division, ASCE, vol.94, no. ST4, 1011 (1968)
- Sokolovski "Statistics of Granular Media", Pergamon Press, Oxford, 1965
(星野・佐藤訳「土のような粒状体の力学」,オム社,昭和39年)
- Gardner, G.C., Chem. Eng. Sci., vol.21, 261 (1966)
- 高橋洋志,柳川弘,化学工学,38巻,10号,746(1974)
- Tüzen, U., R.M. Nedderman, Powder Technol., 31, 27 (1982)

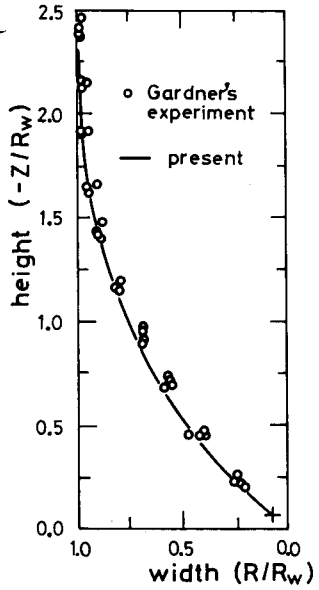


図4 死領域の境界線